УДК 576.858.8 *БИОХИМИЯ*

В. К. НОВИКОВ, В. З. КИМАЕВ, И. Г. АТАБЕКОВ

РЕКОНСТРУКЦИЯ НУКЛЕОПРОТЕИДА ВИРУСА Х КАРТОФЕЛЯ

(Представлено академиком А. Н. Белозерским 29 VII 1971)

Известно, что нативные вирионы некоторых палочковидных (1-4) и сферических (5) вирусов растений могут быть реконструированы при инкубации смеси низкомолекулярного структурного вирусного белка и инфекционной свободной РНК. В то же время в литературе отсутствуют данные по реконструкции нитевидных вирусов растений.

Предлагаемая работа имеет своей целью осветить некоторые закономерности самосборки in vitro вирионов вируса X картофеля (Хв.к). Очищенный препарат Хв.к. выделяли из зараженных растений дурмана (Datura stramonium L.) методом дифференциального центрифугирования с предварительным осветлением экстракта хлороформом и концентрированием

вируса методом изоэлектрической преципитации (6).

Для получения препаратов структурного белка и инфекционной РНК Хв.к. применяли метод солевой депротеинизации вирусов (⁷, ⁸). К охлажденному вирусному раствору рН 6.5 (20—30 мг/мл) добавляли равный объем 4 M раствора $CaCl_2$ и смесь инкубировали при 0° в течение 15 мин. В этих условиях Хв.к. полностью диссоциирует на белок и РНК. Преципитировавшую в солевом растворе РНК отделяли центрифугированием при 10 тыс. об/мин в течение 15 мин, от низкомолекулярного вирусного белка $(s_{20, w} \approx 2S)$, растворимого в растворе CaCl₂. РНК переводили в растворимое состояние, экстрагируя осадок трижды трис-буфером рН 7,5, содержащим ЭДТА 0.02~M и бентонит ($^{1}/_{10}$ от веса исходного вируса). Данее РНК дважды переосаждали 2 объемами этанола с добавлением ацетатного буфера, рН 4,5. Раствор РНК в бидистилляте после ультрацентрифугирования использовали в опытах. РНК также выделяли фепольным методом в присутствии бентонита и додецилсульфата натрия (4). Препараты РНК Хв.к., выделенные обоими методами, были очень сходны по спектру поглощения у.-ф. света, удельной инфекционности и седиментационным свойствам.

Отдиализованный против воды рН 6,8 раствор белка центрифугировали при 40 тыс. об/мин в течение 90 мин. для удаления неразрушенного вируса. В препаратах белка, полученных таким образом, присутствовали два компонента с коэффициентами седиментации $3-5~\mathrm{S}$ и $10-15~\mathrm{S}$. С понижением концентрации белка содержание тяжелого компонента уменьшалось при возрастании содержания легкого компонента. Белок вируса Х картофеля не может быть реполимеризован с образованием высокомолекулярных агрегатов структурно и антигенно идентичных нативному Хв.к. (9-11), как это было показане для белка вируса табачной мозаики (в.т.м.) (12). Концентрацию Хв.к., белка Хв.к. и РНК определяли спектрофотометрически с применением коэффициентов экстинкции $Z_{^{260~\mathrm{Mp/cm}}}^{1\%}=28$ $(^{13}), E_{^{280 \text{ Mµ/cM}}}^{10} = 12,3 (^{10})$ и $E_{^{260 \text{ Mµ/cM}}}^{0,1\%} = 25$ соответственно. Седиментационный анализ проводили в ультрацентрифуге «Spinco-E». Электронномикроскопические исследования вели с применением метода негативного контрастирования (14) на электронном микроскопе «Hitachi» 11B при инструментальном увеличении 20—50 тыс. Иммунологические тесты проводили методом двойной диффузии в геле, как описано ранее (15).

Реконструкция нуклеопротеида Хв.к. in vitro происходит при инкубации смеси вирусного белка и РНК в буферных растворах с низкой ионной силой. Об эффективности реконструкции судили по величине валового выхода нуклеопротеидного материала, выделяемого из инкубационной смеси одним циклом дифференциального центрифугирования, и выражали в процентах от теоретического максимального выхода нуклеопротеида с соотношением D_{260}/D_{280} , равным 1, 2. Как показано в табл. 1, наибольший выход нуклеопротеидного материала наблюдался при концентрации трис-HCl-буфера 0,01 мол/л и фосфатного буфера 0,001 мол/л. Нуклеопротеидный материал образовывался в значительных количествах также и в том случае, если смесь белка и РНК инкубировали в дистиллированной воде. Однако в растворах с очень низкой ионной силой, по-видимому, образуются также нуклеопротеидные комплексы, характеризующие более высоким отношением D_{280}/D_{280} , чем в нативном вирусе (табл. 1). При после-

Таблица 1 Влияние концентрации буфера на эффективность реконструкции пуклеопротения Хв. к.

Концентрация буфера, мол/п	Выход нуклеопротеида, %				D_{250}/D_{250} в материале, переосаждаемом в ультрацентрифуге			
	фосфатный буфер			трис-НС1	фосфатный буфер		трис-НС	
H ₂ O 0,0001 0,001 0,005 0,01 0,05 0,10	14 14 17 12 3 2	15 16 17 6 3 1	26 26 34 — 11 — 2	29 28 36 10 5	1,48 1,50 1,44 - 1,26 1,20 1,20	1,21 1,21 1,21 1,18 1,18 1,17	1,29 1,36 1,32 - 1,22 - 1,20	1.26 1,26 1,21 1,21 1,21

Примечание. Отношение белка к РНК в инкубационной смеси составляло 20-25, рН 6.9-7.2, инкубировали 20 час. при 20° . Приведены результаты четырех опытов в двух повгорностях каждый.

дующих переосаждениях в ультрацентрифуге или обработке панкреатической РНКазой переосаждаемый в ультрацентрифуге материал характеризовался соотношением D_{280} , D_{280} , равным 1,18—1,21. Выход нуклеопротеидного материала резко снижался с увеличением концентрации соли (табл. 1), а в условиях, оптимальных для реконструкции в.т.м. (0,1 M фосфатный буфер (16)), образование нуклеопротеида Хв.к. практически не происходило. При инкубации белка в отсутствие РНК количество переосаждаемого в ультрацентрифуге материала не превышало 2%. Оптимум рН для образования нуклеопротеидного материала в инкубационной смеси белка и РНК Хв.к. находится в интервале рН 6,5—7,0 (рис. 1a). При значениях рН ниже 6 выход нуклеопротеида резко снижался.

Данные по кипетике образования нуклеопротеидного материала приведены на рис. 16. При инкубации смеси белка и РНК в 0,025 M трис-HCl-буфере рН 6,7, 20°, примерно половина суммарного нуклеопротеидного материала образуется за первые 30 мин. Реакцию останавливали добавлением в инкубационную смесь фосфатного буфера до конечной концентрации 0,1 M.

Реконструированный in vitro нуклеопротеидный материал, очищенный двумя циклами дифференциального центрифугирования, был охарактеризован с применением ряда методов. В препаратах реконструированного Хв.к. при исследовании в электронном микроскопе выявлено большое количество нитевидных частиц, варьирующих по длине, диаметр которых неотличим от диаметра нативного Хв.к. (рис. 2). В популяции реконструированных частиц удается выявить частицы (рис. 1в) с длиной, харак-

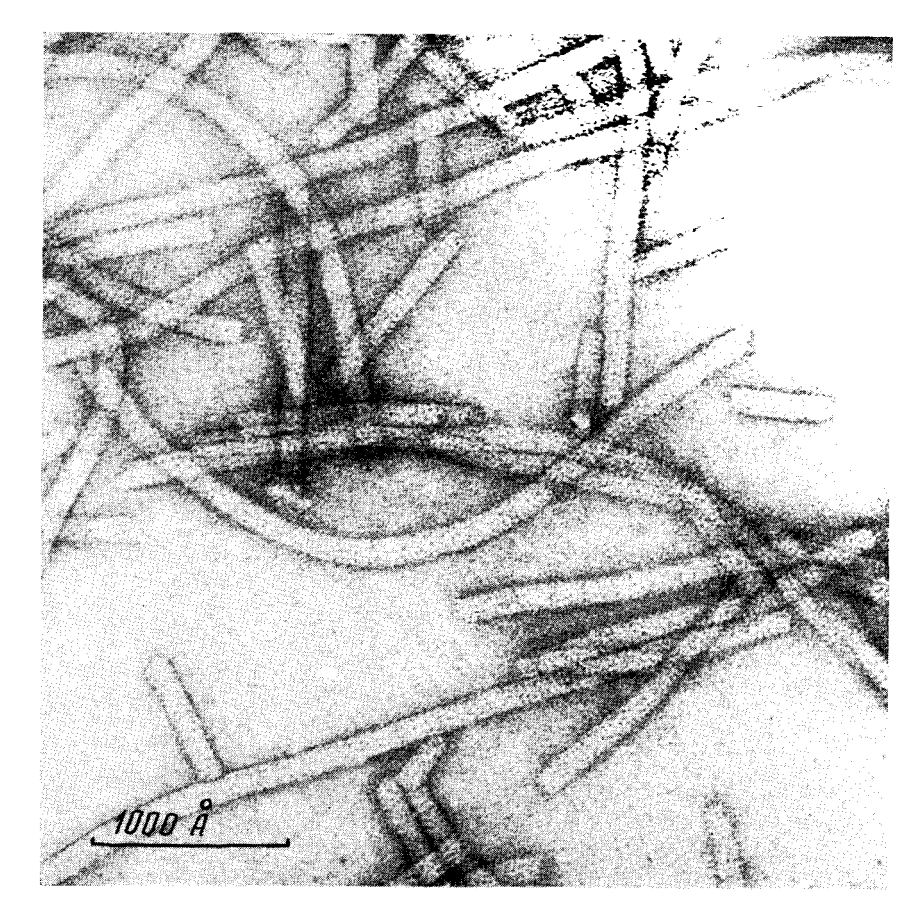


Рис. 2. Электронная микрофотография препарата Хв.к., реконструированного in vitro (контрастирование уранил-ацетатом)

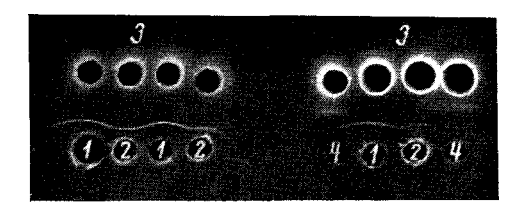


Рис. 3. Реакция преципитации в агаровом геле с аптисывороткой к Хв.к., 1— реконструированный Хв.к., 2— пативный Хв.к., 3— антисыворотка к Хв.к., 4— белок Хв.к.

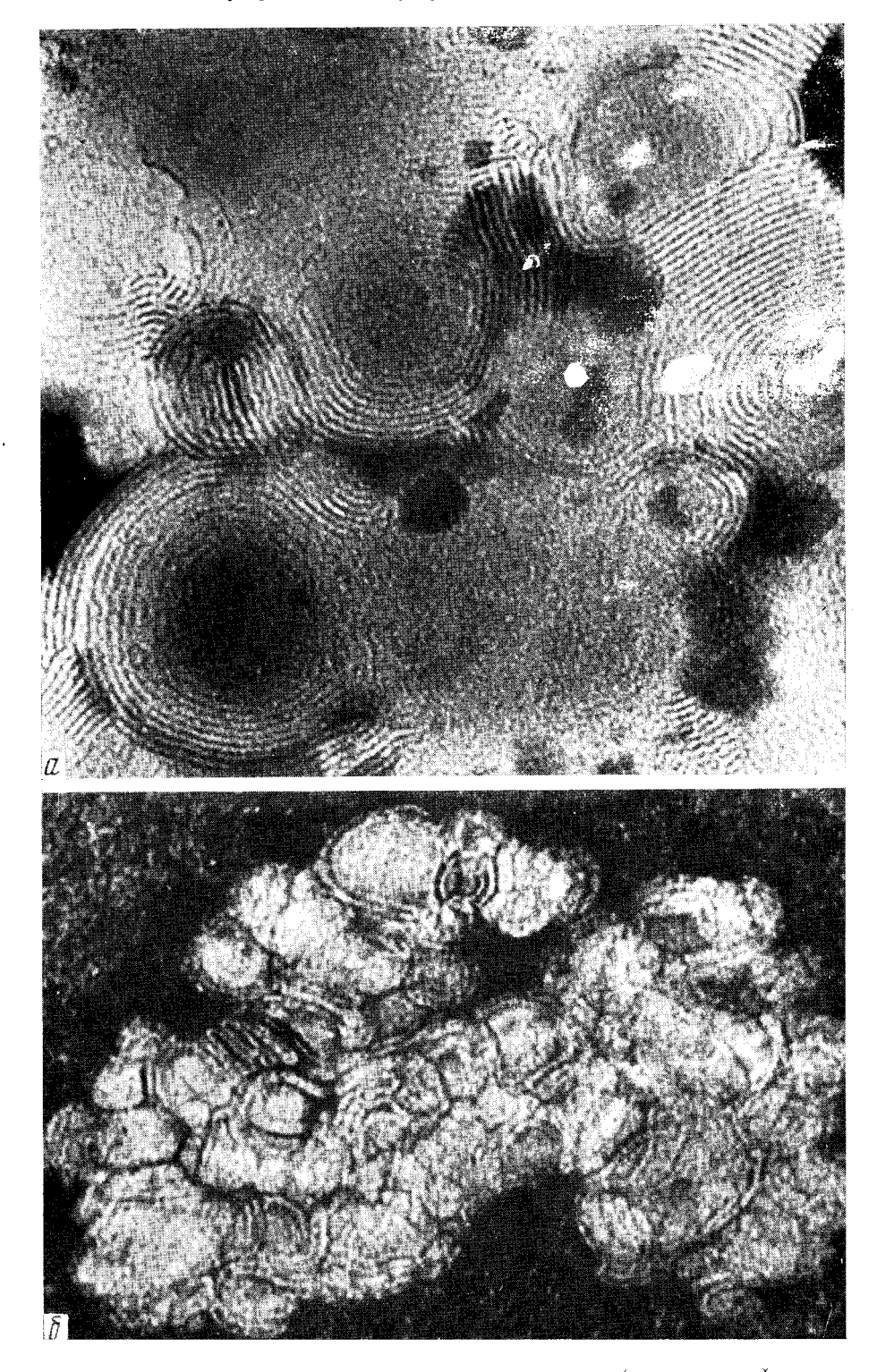


Рис. 2. Структуры, полученные из системы лецитин — вода (электронная фотография). Негативное контрастирование 2% ФВК, рН 7, $200\,000\times$. a — без белка, b — после обработки белком

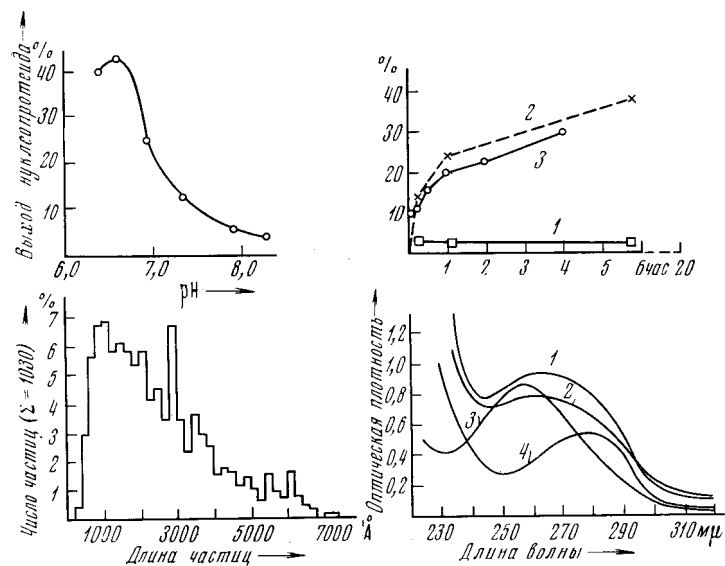


Рис. 1. Реконструкция вируса X картофеля из белка и РНК. Вверху слева — влияние рН на реконструкцию Xв.к. (смесь инкубировали в 0,025 M трис-HCl-буфере при 20° в течение 16 час.); вверху справа — кинетика образования нуклеопротеида Xв.к. (инкубация в 0,025 M трис-HCl, рН 6,7): I — инкубация при 0°, 2 — при 20°, 3 — при 20°, I, I — концентрация белка 2 мг/мл, I — 1,5 мг/мл; внизу слева — гистограмма реконструированного Xв.к. (инкубация при реконструкции в 0,01 I трис-HCl, рН 7,0, 20°); внизу справа — спектр поглощения у.-ф. света препаратами: I — реконструированным Xв.к., I — нативным Xв.к., I — РНК Xв.к., I — белок Xв.к.

терной для нативного Хв.к., 5150—5400 Å (17, 18). Такие препараты обладали небольшой инфекционностью при инокуляции растений Datura stramonium L. и Chenopodium amaranticolor Coste, Reyn. Спектр поглощения у.-ф. света реконструированного нуклеопротеида был очень близок к спектру поглощения у.-ф. света нативного препарата Хв.к. (рис. 1г). Материал, формируемый при реконструкции, был антигенно идентичен нативному Хв.к. (рис. 3) в отличие от исходного белка Хв.к. Белок Хв.к. был антигенно родствен, но не идентичен Хв.к., в соответствии с предыдущими результатами (11, 22). При аналитическом ультрацентрифугировании реконструированный материал был гетерогенен. Основная масса реконструированного вируса имела коэффициент седиментации порядка 75—90 S, т. е. приближалась к константе седиментации нативного Хв.к. 118 S (19).

Рассмотренные выше результаты свидетельствуют о том, что нуклеопротеид Хв.к. может быть реконструирован in vitro при инкубации смеси белка и РНК в растворах с низкой ионной силой. Белок Хв.к. в отсутствие РНК не способен образовывать вирусоподобные структуры. Это свидетельствует о том, что реконструкция вируса осуществляется на основе взаимодействия РНК — белок. Тот факт, что низкая ионная сила растворителя является оптимальной для реконструкции Хв.к., позволяет предположить, что основная роль в этом процессе выполняется солевыми связями. Последнее отличает эту систему от в.т.м., частицы которого стабилизированы преимущественно гидрофобными взаимодействиями (20, 21).

Далее мы предприняли попытку получения смешанных нуклеопротеидов, состоящих из белка Хв.к. и гетерологичных вирусных РНК. С этой целью использовали инфекционные препараты РНК вируса табачной мозаики, вируса мозаики костра (в.м.к.), вируса штриховатой мозаики ячменя (в.ш.м.я.), а также препараты рибосомальной РНК * Escherichia coli 16 и 23 S. В этих опытах были получены нитевидные частицы, неотличимые

^{*} Авторы признательны В. А. Спиридоновой за предоставление рибосомальной РНК Е. coli.

в электронном микроскопе от реконструированного Хв.к. и антигенно идентичные нативному Хв.к. Спектр поглощения у.-ф. света таких смешанных нуклеопротендов был также сходен со спектром поглощения нативного Хв.к. Выход нуклеопротеида при инкубации белка Хв.к. с РНК в.т.м... ОВ-3,4 и рибосомальной РНК 23 S был близок к выходу нуклеопротеида при гомологичной реконструкции (табл. 2).

Таблица 2 Образование смешанного нуклеопротенда при инкубации белка Хв. к. и различных РНК

Источник	Трис-HCl 0,01 M,	рН 6,7—6,8	Фосфатный буфер 0,001 М, рН 6,7		
получения РНК	выход нуклеопро- теида, %	D 2 30/D 280	выход нуклеопро- теида, %	D _{2:0} /D _{2:0}	
Χв. к.	$\frac{16}{33}$	$\frac{1,33}{1,18}$	31	1,20	
В. т. м.	$\frac{18}{26}$	$\frac{1,34}{1,18}$	34	1,19	
В. м. к.	$\frac{8}{16}$	$\frac{1,27}{1,23}$	12	1,26	
В. ш. м. я.	$\frac{12}{19}$	$\frac{1,33}{1.18}$	20	1,25	
Pибос ом альная					
16 S	<u>-</u>	$\frac{-}{1,18}$	11	1,18	
23 S	$\frac{-}{18}$	$\frac{-}{1,20}$	21	1,2i	

И римечание. Над чертой — результаты опыта I, под чертой — II. Отношение белок — РНК в инкубационной смеси составляло 25, инкубировали в течение 20 час. при 20° .

Полученные данные свидетельствуют об отсутствии строгой специфичности взаимодействия белка Хв.к. с гомологичной и гетерологичной РНК при формировании нуклеопротеидных частиц. Последнее, однако, не исключает существования каких-то тонких различий при взаимодействии бедка Хв.к. с РНК различного происхождения, так как инфекционные частины удалось реконструировать только при пользовании гомологичной РНК.

Московский государственный упиверситет им. М. В. Ломоносова

Поступило 7 VÏ 1971

цитированная литература

1 H. Fraenkel-Conrat, R. C. Williams, Proc. Nat. Acad. Sci. U.S.A., 41, 690 (1955). 2 H. A. Киселев, И. Г. Атабеков и др., Биохимия, 31, 4, 670 (1966). 3 I. S. Semancik, D. A. Reynold, Science, 164, 559 (1969). 4 J. G. Atabekov, V. K. Novikov et al., Virology, 41, 519 (1970). 5 E. Hiebert, J. B. Bancroft, C. E. Bracker, Virology, 34, 492 (1968). 6 V. K. Novikov, J. G. Atabekov, Virology, 41, 107 (1970). 7 I. I. Kelley, P. Kacsberg, Biochim, et hiophys. acta. 51, 236 (1962). 8 И. Г. Атабеков, В. К. Новиков, Биохимия, 31, 1, 157 (1966). 9 F. C. Bawden, A. Kleczkowski, Virology, 7, 375 (1959). 10 M. E. Reichmann, J. Biol. Chem., 235, 2559 (1960). 11 C. П. Дементьева, В. К. Новиков, И. Г. Атабеков, Биологические пауки, 8, 92 (1970). 12 G. Schramm, W. Zillig, Zs. Naturforsch., 106, 493 (1955). 13 M. E. Reichmann, Canad. J. Chem., 37, 384 (1959). 14 S. Brenner, R. Horne, Biochim, et biophys. acta, 34, 103 (1959). 15 J. G. Atabekov, N. D. Schaskolskaya et al., Virology, 36, 587 (1968). 16 H. Fraenkel-Conrat, B. Singer, Biochim, et biophys. acta, 33, 359 (1959). 17 J. Brandes, C. Wetter, Virology, 8, 115 (1959). 18 E. Shikata, J. Faculty of Agricult. Hokkaido Univ., 55, Part 1, 2 (1966). 19 M. E. Reichmann, Canad. J. Chem., 37, 4 (1959). 20 D. L. D. Caspar, Adv. Protein, Chem., 18, 37 (1963). 21 M. A. Lauffer, C. L. Stevens, Adv. Virus. Res., 13, 1 (1968). 22 I. F. Shepard, J. A. Shalla, Virology, 42, 825 (1970).